

Московский Государственный Университет
имени М. В. Ломоносова
Факультет вычислительной математики и кибернетики
Кафедра математической физики



КУРСОВАЯ РАБОТА СТУДЕНТА 402 ГРУППЫ
Турганбаева Сатбека Амангельдыулы

Численное исследование одного метода восстановления волнового фронта

Научный руководитель:
д.ф-м.н. профессор Разгулин А. В.

Москва 2017

Содержание

Введение	2
1 Преобразование Хаара	3
1.1 Формулировки и определения	3
1.2 Одномерный сигнал	3
1.3 Дополнение нулями	4
1.4 Двумерное преобразование	4
1.5 Явные формулы для анализа	5
2 Градиенты. Геометрия Хаджина и Фрайда	6
2.1 Геометрия Хаджина и Фрайда	6
2.2 Градиенты и преобразование Хаара	6
3 Вывод формул прямого преобразования	6
3.1 Получение LH, HL квадрантов	7
3.2 Получение HH квадранта	8
4 Программная реализация	8
4.1 Программная реализация метода	8
4.2 Программная реализация интерфейса для исследования метода	9
5 Результаты вычислительных экспериментов	10
Заключение	16

Введение

Системы адаптивной оптики используемые в современных телескопах используют гибкие зеркала, для коррекции аберраций, вызванных турбулентностью атмосферы Земли. Одним из устройств для измерения волнового фронта является датчик Шака-Гартмана. Данный датчик измеряет градиент волнового фронта, вместо него самого. Получаются матрицы градиентов X и Y .

В [1] был предложен метод восстановления волнового фронта по его наклонам с использованием преобразования Хаара. Идея метода заключается в том, что наклоны волнового фронта могут быть представлены в виде суперпозиции сверток с фильтрами преобразования Хаара. Используя это соотношение возможно выполнить "замену переменной и получить разложение волнового фронта по вейвлетам Хаара. Затем, применив стандартный алгоритм обратного преобразования получить исходный волновой фронт. Стоит отметить, что в [1] кроме наклонов волнового фронта и его интенсивности также требовалась и интенсивность правого нижнего квадранта $\frac{M-1}{HH}\Phi$, но в более новой статье [2] было предложено более простое решение, и ослаблены требования к начальным данным.

Целью работы является ознакомление с методом, его программная реализация, а также реализация средств для его дальнейшего исследования. В ходе работы были разобраны статьи [1]- [2], и на их основе написана первая часть работы, знакомящая с преобразованием Хаара и методом. При программной реализации был написан ряд модулей, реализующих как сам метод, так и средства для его исследования. В работе описан их функционал. Также приведены примеры работы метода на полиномах Цернике.

1 Преобразование Хаара

1.1 Формулировки и определения

Z-преобразованием дискретного сигнала $\{s_j\}_{j \in \mathbb{Z}}$ называется полином Лорана $P_s(z) = \sum_{j \in \mathbb{Z}} s_j z^{-j}$.
 $h = (\frac{1}{\sqrt{2}}, \frac{1}{\sqrt{2}})$, $g = (\frac{1}{\sqrt{2}}, -\frac{1}{\sqrt{2}})$ - низкочастотный и высокочастотный фильтры преобразования Хаара.

$$H_L(z) = \frac{1 + z^{-1}}{\sqrt{2}}$$

$$H_H(z) = \frac{1 - z^{-1}}{\sqrt{2}}$$

$H_L(z)$, $H_H(z)$ - z - преобразования фильтров h и g соответственно.

Линейной сверткой двух дискретных сигналов $a(n)$, $n = 0 \dots N - 1$ и $b(n)$, $n = 0 \dots M - 1$ называется выражение:

$$h = a \otimes b$$
$$h(n) = \sum_{m=0}^n a(m)b(n-m)$$

Ввиду того, что сигналы конечномерные на границах возникает неопределенность из-за отсутствия соответствующих элементов. Проблема решается различными способами: дополнение одного из обоих сигналов 0-ми, константами, симметричное отражение и т.д.

Также одним из свойств z -преобразования является то, что z -преобразование свертки двух сигналов равно произведению z -преобразований этих сигналов.

\uparrow s - операция, добавляющая 0 после каждого элемента сигнала s .

\downarrow_k s - операция, удаляющая каждый k -ый элемент сигнала s .

Если $s = (1, 2, 3, 4)$, то $\uparrow_2 s = (1, 0, 2, 0, 3, 0, 4, 0)$, а $\downarrow_2 s = (1, 3)$.

Также стоит отметить, что:

$$\downarrow_2 H_L(z^{2^k}) = H_L(z^{2^{k-1}}), \quad k \geq 2$$

$$\downarrow_2 H_H(z^{2^k}) = H_H(z^{2^{k-1}}), \quad k \geq 2$$

$$\uparrow_2 H_L(z^{2^{k-1}}) = H_L(z^{2^k}), \quad k \geq 2$$

$$\uparrow_2 H_H(z^{2^{k-1}}) = H_H(z^{2^k}), \quad k \geq 2$$

В дальнейшем под сигналом будет пониматься его z -преобразование и наоборот.

1.2 Одномерный сигнал

Будем предполагать в дальнейшем, что размерность сигналов равна 2^m , $m \geq 1$.

Свернем сигнал $h_m(z)$, $\dim h_m = 2^m$ с фильтрами $H_L(z)$, $H_H(z)$, а затем применим к получившемуся операцию \downarrow_2 .

Получим сигналы:

$$h_{L_{m-1}}(z) = \downarrow_2 \{h_m(z)H_L(z)\}$$

$$h_{H_{m-1}}(z) = \downarrow_2 \{h_m(z)H_H(z)\}.$$

Их размерности будут в два раза меньше, размерности исходного сигнала h_m .

$h_{L_{m-1}}(z)$ называется низкочастотной составляющей сигнала h_m , а $h_{H_{m-1}}(z)$ высокочастотной.

Восстановление исходного сигнала происходит так:

$$h_m(z) = \uparrow_2 \{h_{L_{m-1}}(z)\}H_L(z) + \uparrow_2 \{h_{H_{m-1}}(z)\}H_H(z)$$

Описанные выше преобразования выполняют один шаг прямого и обратного преобразования Хаара. Прямое преобразование называется анализом, обратное синтезом.

Если положить, что $h_m = h_{L_m}$, то алгоритм анализа выглядит так:

k называется разрешением разложения. Анализ будет происходить до тех пор, пока не останется один элемент.

Algorithm 2 Алгоритм синтеза

for $k = m \dots 1$ **do**

$$h_{L_{m-k+1}}(z) = \uparrow_2 \{h_{L_{m-k}}(z)\}H_L(z^{-1}) + \uparrow_2 \{h_{H_{m-k}}(z)\}H_H(z^{-1})$$

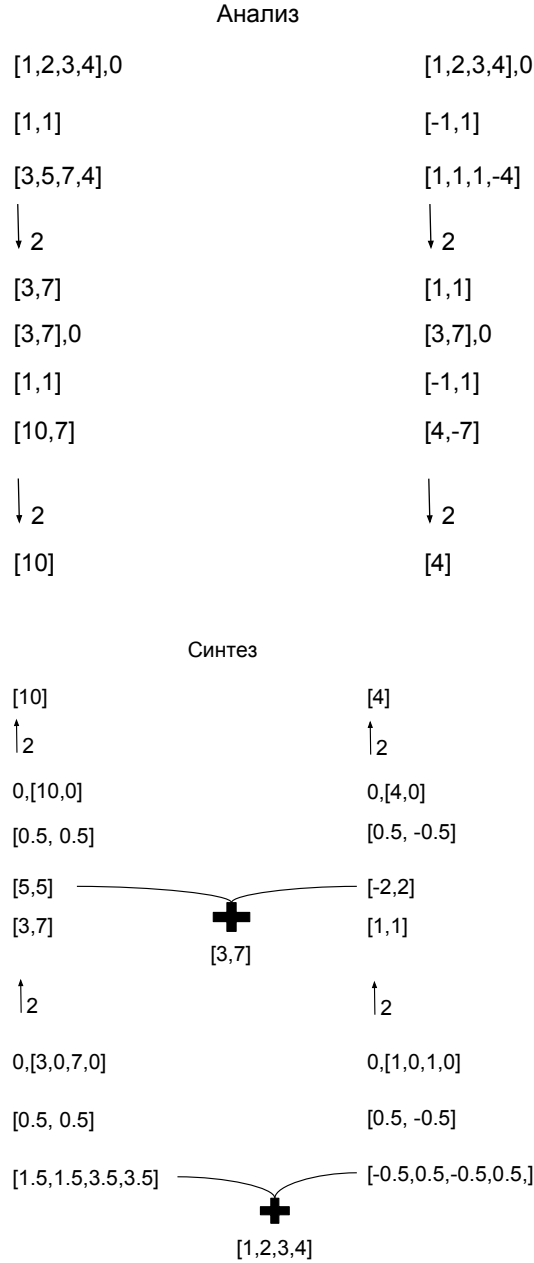
end for

Algorithm 1 Алгоритм анализа

```
for  $k = 1 \dots m$  do  
     $h_{L_{m-k}}(z) = \downarrow_2 \{h_{L_{m-k+1}}(z)H_L(z)\}$   
     $h_{H_{m-k}}(z) = \downarrow_2 \{h_{L_{m-k+1}}(z)H_H(z)\}$   
end for
```

1.3 Дополнение нулями

В описываемом методе при анализе будем дополнять нулями справа, а при синтезе слева. Ниже приведены примеры анализа и синтеза сигнала (1, 2, 3, 4). Для наглядности используются нестандартные пары фильтров, [1, 1], [1, -1] и [0.5, 0.5], [0.5, -0.5].



1.4 Двумерное преобразование

Пусть дана матрица ${}^M\Phi, {}^M\Phi \in \mathbb{R}^{2^M \times 2^M}$. Применим к каждой строке матрицы один шаг анализа. В результате получим матрицы ${}^{m-1}_L\Phi, {}^{m-1}_H\Phi$. К каждому столбцу обеих матриц также применим шаг анализа. В итоге получим четыре матрицы ${}^{m-1}_{LL}\Phi, {}^{m-1}_{LH}\Phi, {}^{m-1}_{HL}\Phi, {}^{m-1}_{HH}\Phi$. ${}^{m-1}_{LL}\Phi$ - является низкочастотной составляющей двумерного сигнала, остальные три матрицы содержат детализирующую информацию. Таким образом будет выполнен первый шаг

двумерного преобразования Хаара. Нужно проделать аналогичные операции с ${}_{LL}^{m-1}\Phi$ для следующего шага. Таким образом, шаг двумерного преобразования свелся к композиции одномерных преобразований.

Синтез происходит аналогичным образом: в обратном анализе порядке дополняется нулями соответствующая размерность и применяются фильтры Хаара, а затем результаты складываются.

Пусть ${}^M\Phi = {}_{LL}^M\Phi$

Algorithm 3 Алгоритм 2D-анализа

```

for  $k = M \dots 1$  do
   ${}_{LL}^{k-1}\Phi = \downarrow_2 \{ {}_{LL}^k\Phi H_L(z_h) H_L(z_v) \}$ 
   ${}_{LH}^{k-1}\Phi = \downarrow_2 \{ {}_{LL}^k\Phi H_L(z_h) H_H(z_v) \}$ 
   ${}_{HL}^{k-1}\Phi = \downarrow_2 \{ {}_{LL}^k\Phi H_H(z_h) H_L(z_v) \}$ 
   ${}_{HH}^{k-1}\Phi = \downarrow_2 \{ {}_{LL}^k\Phi H_H(z_h) H_H(z_v) \}$ 
end for

```

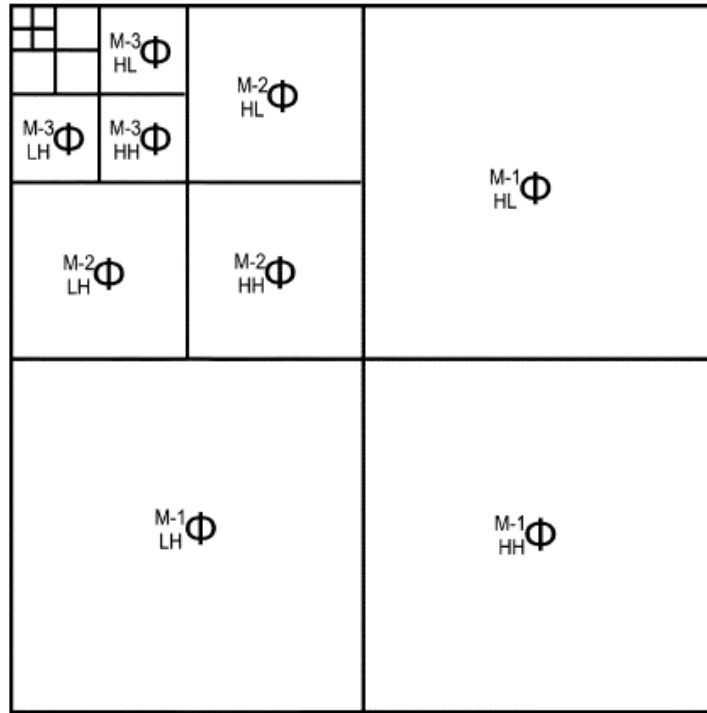
Algorithm 4 Алгоритм 2D-синтеза

```

for  $k = 1 \dots M$  do
   ${}_{LL}^{k-1}\Phi = \uparrow_2 \{ {}_{LL}^{k-1}\Phi H_L(z_v^{-1}) + {}_{LH}^{k-1}\Phi H_L(z_v^{-1}) \} H_L(z_h^{-1}) + \uparrow_2 \{ {}_{HL}^{k-1}\Phi H_L(z_v^{-1}) + {}_{HH}^{k-1}\Phi H_L(z_v^{-1}) \} H_H(z_h^{-1})$ 
end for

```

Полученное 2- D разложение можно представить в виде диаграммы, где на каждом уровне LL , LH , HL и HH составляющим соответствуют определенные квадранты.



1.5 Явные формулы для анализа

Из алгоритма анализа непосредственно выводятся формулы для LL , LH , HL и HH составляющих на каждом уровне.

$${}_{LL}^{M-m}\Phi = \downarrow_{2^m} \{ {}^M\Phi \prod_{k=0}^{m-1} H_L(z_h^{2^k}) \prod_{k=0}^{m-1} H_L(z_v^{2^k}) \} \quad (1)$$

$${}_{LH}^{M-m}\Phi = \downarrow_{2^m} \{ {}^M\Phi H_H(z_v^{2^{m-1}}) \prod_{k=0}^{m-1} H_L(z_h^{2^k}) \prod_{k=0}^{m-2} H_L(z_v^{2^k}) \} \quad (2)$$

$${}_{HL}^{M-m}\Phi = \downarrow_{2^m} \{ {}^M\Phi H_H(z_h^{2^{m-1}}) \prod_{k=0}^{m-2} H_L(z_h^{2^k}) \prod_{k=0}^{m-1} H_L(z_v^{2^k}) \} \quad (3)$$

$${}_{HH}^{M-m}\Phi = \downarrow_{2^m} \{ {}^M\Phi H_H(z_v^{2^{m-1}}) H_H(z_v^{2^{m-1}}) \prod_{k=0}^{m-2} H_L(z_h^{2^k}) \prod_{k=0}^{m-2} H_L(z_v^{2^k}) \} \quad (4)$$

2 Градиенты. Геометрия Хаджина и Фрайда

2.1 Геометрия Хаджина и Фрайда

В адаптивной оптике используются два различных способа представления наклонов волнового фронта. Согласно [3] это геометрии Хаджина и Фрайда. Геометрия Хаджина:

$${}_H x_{i,j} = -\phi_{i,j} + \phi_{i,j+1}$$

$${}_H y_{i,j} = -\phi_{i,j} + \phi_{i+1,j}$$

Получившиеся матрицы ${}_H^M X$, ${}_H^M Y$ имеют размерности $2^M \times (2^M - 1)$ и $(2^M - 1) \times 2^M$ соответственно. Геометрия Фрайда:

$${}_F x_{i,j} = \frac{{}_H x_{i,j} + {}_H x_{i+1,j}}{2} = \frac{-\phi_{i,j} + \phi_{i,j+1} - \phi_{i+1,j} + \phi_{i+1,j+1}}{2}$$

$${}_F y_{i,j} = \frac{{}_H y_{i,j} + {}_H y_{i,j+1}}{2} = \frac{-\phi_{i,j} - \phi_{i,j+1} + \phi_{i+1,j} + \phi_{i+1,j+1}}{2}$$

Получившиеся матрицы ${}_F^M X$, ${}_F^M Y$ имеют одинаковые размерности $2^M - 1 \times 2^M - 1$.

2.2 Градиенты и преобразование Хаара

Справедливы следующие соотношения.

$${}_H^M X = {}^M\Phi \sqrt{2} H_H(z_h) \quad (5)$$

$${}_H^M Y = {}^M\Phi \sqrt{2} H_H(z_v) \quad (6)$$

$${}_F^M X = \frac{{}_H^M X H_L(z_v)}{\sqrt{2}} = {}^M\Phi H_H(z_h) H_L(z_v) \quad (7)$$

$${}_F^M Y = \frac{{}_H^M Y H_L(z_h)}{\sqrt{2}} = {}^M\Phi H_L(z_h) H_H(z_v) \quad (8)$$

3 Вывод формул прямого преобразования

Рассмотрим случай, когда известны вертикальные и горизонтальные наклоны, а также интенсивность волнового фронта. Иначе говоря имеются: ${}_F^M X$, ${}_F^M Y$, ${}_H^M X$, ${}_H^M Y$, ${}_0^{LL}\Phi$.

Необходимо получить из имеющихся данных получить $2D$ -разложение волнового фронта, а затем восстановить сам волновой фронт, применив к полученному разложению стандартный алгоритм синтеза.[1] Диаграмма разложения которое необходимо получить будем аналогична диаграмме стандартного разложения:

<table><tr><td></td><td></td><td></td></tr><tr><td></td><td></td><td></td></tr></table>							M-3 HL Φ	M-2 HL Φ	M-1 HL Φ
M-3 LH Φ	M-3 HH Φ								
M-2 LH Φ		M-2 HH Φ							
M-1 LH Φ		M-1 HH Φ							

Отличаться будут лишь формулы (1)-(4). "Идейно" метод заключается в замене переменной. Используя соотношения (5)-(8), получим аналоги (1)-(4).

3.1 Получение LH, HL квадрантов

Из соотношений (5), (6) и (3), (2) соответственно, непосредственно вытекает, что:

$$\begin{aligned} \overset{M-1}{HL} \Phi &= \downarrow_2 \overset{M}{F} X \\ \overset{M-1}{LH} \Phi &= \downarrow_2 \overset{M}{F} Y \end{aligned}$$

Докажем справедливость выражения $H_H(z^{2^{m-1}}) = \sqrt{2}^{m-1} H_H(z) \prod_{k=0}^{m-2} H_L(z^{2^k})$

Доказательство. Запишем $H_H(z^{2^{m-1}})$ в виде полинома

$$\begin{aligned} H_H(z^{2^{m-1}}) &= \frac{1 - z^{2^{m-1}}}{\sqrt{2}} \\ \frac{1 - z^{2^{m-1}}}{\sqrt{2}} &= \frac{(1 - z^{2^{m-2}})(1 + z^{2^{m-2}})}{\sqrt{2}} = \dots = \frac{(1 - z)(1 + z)(1 + z^2) \dots (1 + z^{2^{m-2}})}{\sqrt{2}} \\ H_H(z^{2^{m-1}}) &= \sqrt{2}^{m-1} H_H(z) \prod_{k=0}^{m-2} H_L(z^{2^k}) \end{aligned}$$

□

LH, $m > 1$:

$$\begin{aligned} \overset{M-m}{LH} \Phi &= \downarrow_{2^m} \{ \overset{M}{\Phi} [H_H(z_v^{2^{m-1}})] [\prod_{k=0}^{m-1} H_L(z_h^{2^k})] \prod_{k=0}^{m-2} H_L(z_v^{2^k}) \} = \\ &= \downarrow_{2^m} \{ \overset{M}{\Phi} [\sqrt{2}^{m-1} H_H(z_v) \prod_{k=0}^{m-2} H_L(z_v^{2^k})] [H_L(z_h) \prod_{k=1}^{m-1} H_L(z_h^{2^k})] \prod_{k=0}^{m-2} H_L(z_v^{2^k}) \} \\ &= \sqrt{2}^{m-1} \downarrow_{2^m} \{ \overset{M}{\Phi} H_L(z_h) H_H(z_v) \prod_{k=1}^{m-1} H_L(z_h^{2^k}) \prod_{k=0}^{m-2} H_L^2(z_v^{2^k}) \} \end{aligned}$$

$$= \sqrt{2}^{m-1} \downarrow_{2^m} \{ {}^M_F Y \prod_{k=1}^{m-1} H_L(z_h^{2^k}) \prod_{k=0}^{m-2} H_L^2(z_v^{2^k}) \}$$

HL, $m > 1$:

Выводится аналогично, LH

$$\frac{M-m}{HL} \Phi = \sqrt{2}^{m-1} \downarrow_{2^m} \{ {}^M_F Y \prod_{k=0}^{m-2} H_L^2(z_h^{2^k}) \prod_{k=1}^{m-1} H_L(z_v^{2^k}) \}$$

3.2 Получение HH квадранта

HH, $m = 1:2$

Докажем, что $\frac{M-1}{HH} \Phi \downarrow_2 \{ \frac{\sqrt{2}}{4} [{}^M_H X H_H(z_v) + {}^M_H Y H_H(z_h)] \}$

Доказательство. Известно, что $\frac{M-1}{HH} \Phi = \downarrow_2 [{}^M \Phi H_H(z_h) H_H(z_v)]$.

Распишем $\frac{M-1}{HH} \Phi = \downarrow_2 \{ \frac{\sqrt{2}}{2} \sqrt{2} {}^M \Phi H_H(z_h) H_H(z_v) \}$, выделив из (7) $\frac{M}{H} X$ получим:

$$\frac{M-1}{HH} \Phi = \downarrow_2 \{ \frac{\sqrt{2}}{2} {}^M_H X H_H(z_v) \} = \downarrow_2 \{ \frac{\sqrt{2}}{4} 2 {}^M_H X H_H(z_v) \}$$

Разделив (7) на (8) получим:

$$\frac{M}{H} X H_H(z_v) = \frac{M}{H} Y H_H(z_h)$$

Отсюда получим:

$$\frac{M-1}{HH} \Phi \downarrow_2 \{ \frac{\sqrt{2}}{4} [{}^M_H X H_H(z_v) + {}^M_H Y H_H(z_h)] \}$$

□

HH, $m > 1$:

$$\begin{aligned} \frac{M-m}{HH} \Phi &= \downarrow_{2^m} \{ {}^M \Phi H_H(z_v^{2^{m-1}}) H_H(z_v^{2^{m-1}}) \prod_{k=0}^{m-2} H_L(z_h^{2^k}) \prod_{k=0}^{m-2} H_L(z_v^{2^k}) \} = \\ &= \downarrow_{2^m} \{ {}^M \Phi \sqrt{2}^{m-1} H_H(z_h) \prod_{k=0}^{m-2} H_L(z_h^{2^k}) \prod_{k=0}^{m-2} H_L(z_h^{2^k}) H_H(z_v^{2^{m-1}}) H_L(z_v) \prod_{k=1}^{m-2} H_L(z_v^{2^k}) \} = \\ &= \sqrt{2}^{m-1} \downarrow_{2^m} \{ {}^M_F X \prod_{k=0}^{m-2} H_L^2(z_h^{2^k}) H_H(z_v^{2^{m-1}}) \prod_{k=1}^{m-2} H_L(z_v^{2^k}) \} \end{aligned}$$

4 Программная реализация

Программная реализация представляет из себя две группы модулей на языке Python 3.6.

Первая группа реализует сам метод и предоставляет функции *analyze* и *synthesis*. Вторая группа отвечает за реализацию интерфейса для дальнейшего изучения метода.

Рассмотрим подробнее структуру первой группы модулей.

4.1 Программная реализация метода

Список группы модулей, реализующих сам метод:

- **data.py**
- **gradients.py**
- **measurements.py**
- **util.py**
- **decomposition.py**

data.py - модуль отвечает за задание начальных данных. Предоставляет функцию *get_plane*, которая задает сетку размера $2^M \times 2^M$ для дальнейших вычислений.

gradients.py - модуль предоставляет функции для нахождения градиента от заранее известной матрицы. В модуле находятся функции: *Fried_gradient_model* и *Hudgin_gradien_model*, которые возвращают градиенты по геометриям Фрайда и Хаджина.

measurements.py - модуль предоставляет функции для нахождения метрик схожести изображений. Модуль включает функцию *mse*, которая находит среднее квадратичное отклонение двух изображений.

util.py - служебный модуль, используемый другими. Предоставляет функции для свертки сигналов, работы с z -преобразованиями. Включает в себя функции:

- *downsample* - реализует операцию \downarrow_k с одномерными и двумерными массивами
- *convolve_2d* - осуществляет свертку двумерного массива с фильтром либо по строкам, либо по столбцам;
- *GetH_h* - возвращает вектор, соответствующий z -преобразованию $H_H(z^k)$, для $k \geq 1$.
- *GetH_l* - возвращает вектор, соответствующий z -преобразованию $H_L(z^k)$, для $k \geq 1$.

decomposition.py - реализуется разложение двумерного сигнала по вейвлетам Хаара. Основными функциями являются *analyze* и *synthesis* - именно они реализуют прямое и обратное преобразования Хаара. Ввиду того, что уже существует крупная библиотека, реализующая вейвлет преобразования **pywt (PyWavelets)**, результат функции *analyze* не конфликтует с результатом библиотечной функции *pywt.dwt2*, реализующей прямые вейвлет преобразования двумерных сигналов. Ввиду того, что в методе используется стандартный алгоритм обратного преобразования Хаара функция *synthesis*, реализующая его является оберткой над библиотечной функций *pywt.idwt2*.

4.2 Программная реализация интерфейса для исследования метода

Интерфейс для исследования метода реализуется двумя модулями **research.py** и **view.py**.

research.py используя модули из другой группы, предоставляет функции, которые возвращают информацию необходимую для исследования метода. Модуль предоставляет функцию *get_all*.

get_all(func, grad_x, grad_y, x_s, x_e, y_s, y_e, M)

Функция принимает в качестве параметров три функции: исходную функцию и два её градиента в явном виде, затем функция принимает параметры для задания сетки, на которой будут заданы функция и ее градиенты, значение $LL[0]$. Функция вычисляет следующий набор данных:

- исходную функцию
- исходные градиенты
- $\frac{M}{H}X$, $\frac{M}{H}Y$ составляющие от градиента
- $\frac{M}{F}X$, $\frac{M}{F}Y$ составляющие от градиента
- LL , LH , HL , HH квадранты разложения
- среднеквадратичное отклонение исходной функции от восстановленной ($LL[M]$)
- размерность матрицы, M

view.py отвечает за визуализацию и детализацию информации полученной из **research.py**. Предоставляет функцию *show_all*.

show_all(func, grad_x, grad_y, x_s, x_e, y_s, y_e, M)

Принимает те же параметры, что и *get_all*, вызывая ее внутри себя. Выводит изображения исходного и восстановленного сигналов. А также печатает следующие данные:

- *mse* от градиентов Хаджина и Фрайда с настоящим градиентом
- $LL[0]$ исходного изображения
- $LL[0]$ восстановленного изображения
- Максимум исходного изображения
- Максимум восстановленного изображения
- Минимум исходного изображения

- Минимум восстановленного изображения
- размерность изображения

Под mse и среднеквадратичным отклонением подразумевается:

$$\sqrt{\frac{\sum_{k=1}^n (X_k - Y_k)^2}{n S}}$$

S - "площадь" матрицы X или Y , произведение количества строк на количество столбцов.

5 Результаты вычислительных экспериментов

Проверка работоспособности метода осуществляется с помощью разработанного интерфейса, функции `view.show_all` на полиномах Цернике.

```
res1 = view.show_all(lambda x,y: x**2 + y**2, lambda x,y: 2*x, lambda x,y: 2*y, -10,10,-10,10, 8,1400)
```

```
MSE = 1.96548776779
M = 8
Погрешность X_H= 0.0416500410518
Погрешность Y_H= 0.0416500410518
Погрешность X_F= 0.0417316278902
Погрешность Y_F= 0.0417316278902
LL[0] исходного изображения [[ 17200.52287582]]
LL[0] восстановленного изображения 1400.0
Максимум исходного изображения 200.0
Максимум восстановленного изображения 1718.80208333
Минимум исходного изображения 0.00307574009996
Минимум восстановленного изображения -851.237132353
```

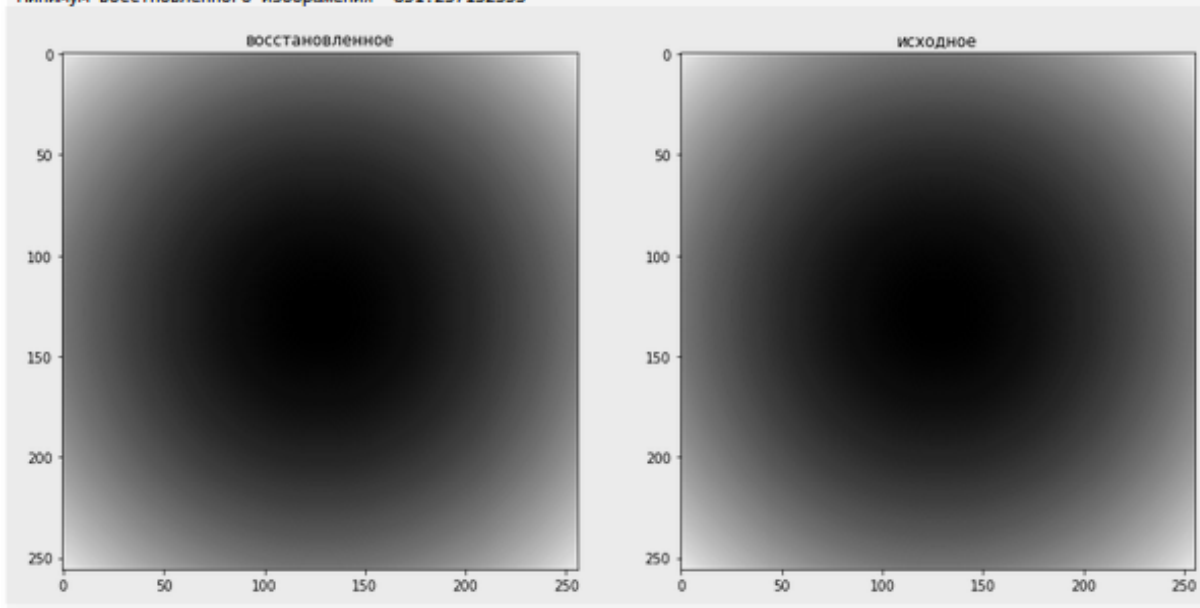


Рис. 1: Полином $R_2^2(x, y) = x^2 + y^2$

```
res4 = view.show_all(lambda x,y:np.sqrt(x**2 + y**2),lambda x,y: x/(np.sqrt(x**2 + y**2)),
                    lambda x,y: y/(np.sqrt(x**2 + y**2)), -1,1,-1,1,8 ,1)
```

```
MSE = 0.141349800341
M = 8
Погрешность X_H= 0.00274277930801
Погрешность Y_H= 0.00274277930801
Погрешность X_F= 0.00275122153648
Погрешность Y_F= 0.00275122153648
LL[0] исходного изображения [[ 196.65714983]]
LL[0] восстановленного изображения 1.0
Максимум исходного изображения 1.41421356237
Максимум восстановленного изображения 83.077240418
Минимум исходного изображения 0.00554593553872
Минимум восстановленного изображения -97.9615391337
```

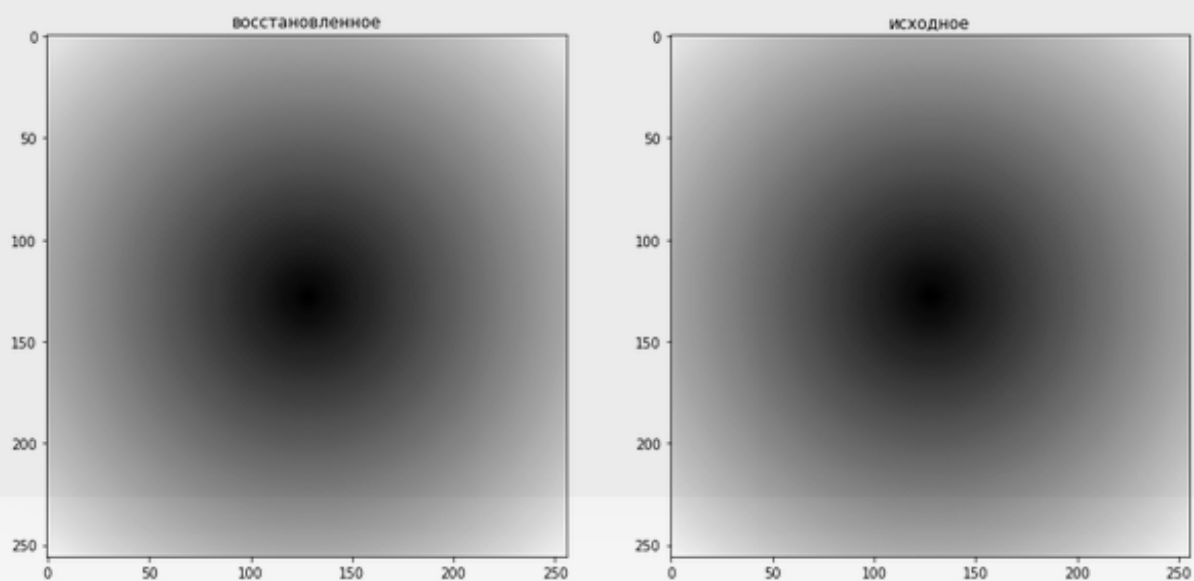


Рис. 2: Полином $R_1^1(x, y) = \sqrt{x^2 + y^2}$

```
res5 = view.show_all(lambda x,y:2*(x**2 + y**2) - 1,lambda x,y: 4*x,
                     lambda x,y: 4*y, -1,1,-1,1,8,88 )
```

MSE = 0.420003376637

M = 8

Погрешность X_H = 0.0089680179661

Погрешность Y_H = 0.0089680179661

Погрешность X_F = 0.00898558510922

Погрешность Y_F = 0.00898558510922

LL[0] исходного изображения [[88.01045752]]

LL[0] восстановленного изображения 88.0

Максимум исходного изображения 3.0

Максимум восстановленного изображения 343.010416667

Минимум исходного изображения -0.999938485198

Минимум восстановленного изображения -170.997426471

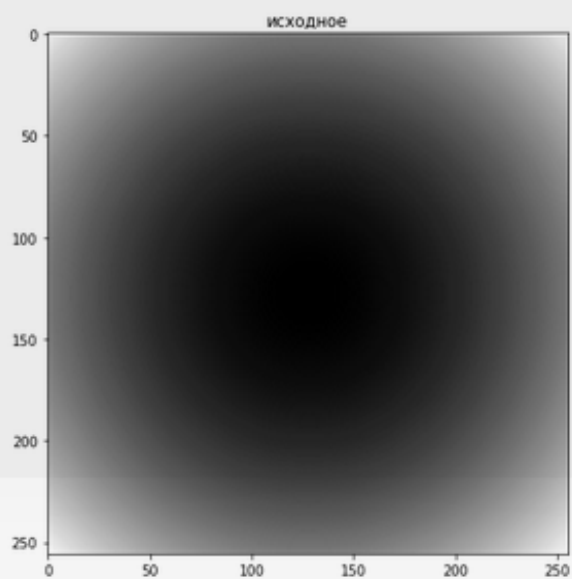
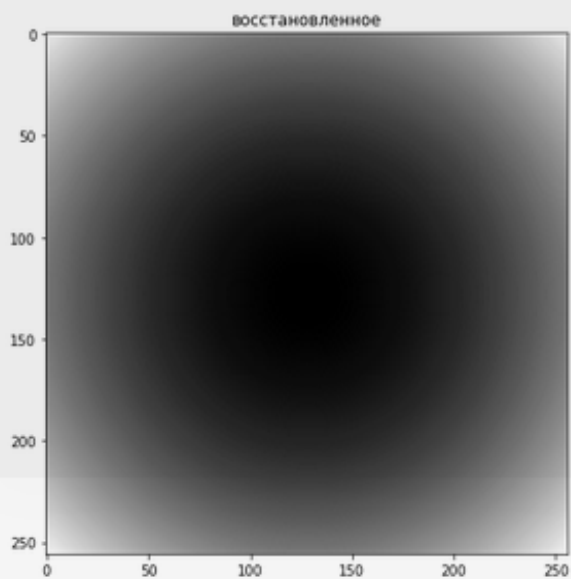


Рис. 3: Полином $R_2^0(x, y) = 2(x^2 + y^2) - 1$

```
resb = view.show_all(lambda x,y:(x**2 + y**2)*np.sqrt(x**2 + y**2),
                    lambda x,y: 2*x*np.sqrt(x**2 + y**2) + x**3/(np.sqrt(x**2 + y**2)) + x*y**2/np.sqrt(x**2 + y**2),
                    lambda x,y:2*y*np.sqrt(x**2 + y**2) + y**3/(np.sqrt(x**2 + y**2)) + y*x**2/np.sqrt(x**2 + y**2),
                    -1,1,-1,1,8)
```

MSE = 0.270378428597

M = 8

Погрешность X_H= 0.00650719267634

Погрешность Y_H= 0.00650719267634

Погрешность X_F= 0.00651086342343

Погрешность Y_F= 0.00651086342343

LL[0] исходного изображения [[162.45008259]]

LL[0] восстановленного изображения 1.0

Максимум исходного изображения 2.82842712475

Максимум восстановленного изображения 283.970569152

Минимум исходного изображения 1.70578563282e-07

Минимум восстановленного изображения -80.9072843798

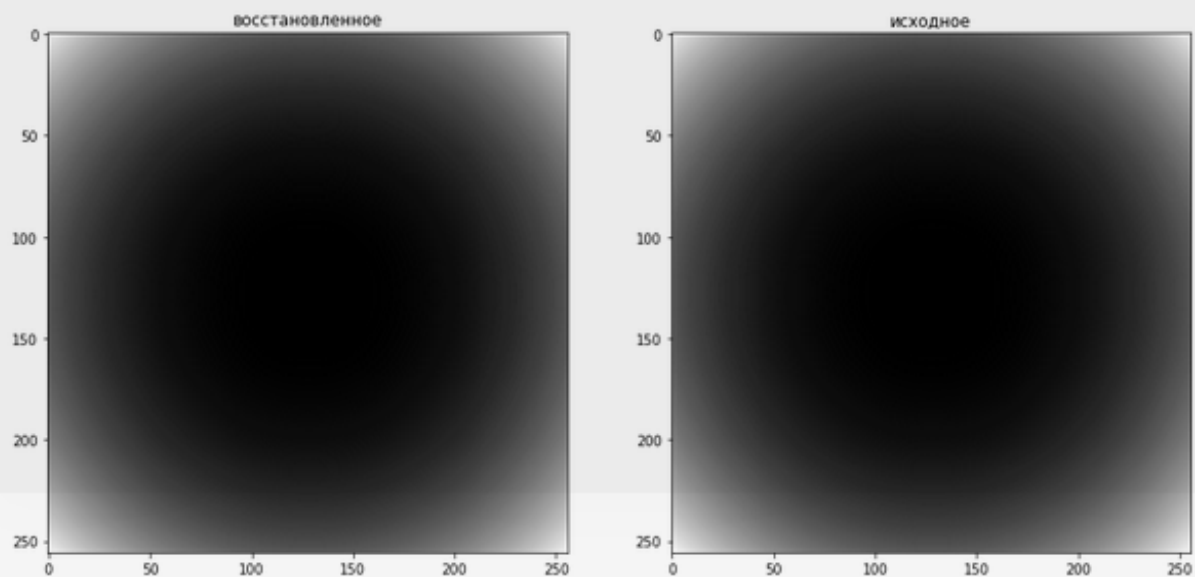


Рис. 4: Полином $R_3(x, y) = (x^2 + y^2) \sqrt{x^2 + y^2}$

```
res3 = view.show_all(lambda x,y: x**2 - y**2, lambda x,y: 2*x, lambda x,y: -2*y, -10,10,-10,10, 8)
```

MSE = 1.95064463103

M = 8

Погрешность X_H= 0.0416500410518

Погрешность Y_H= 0.0416500410518

Погрешность X_F= 0.0417316278902

Погрешность Y_F= 0.0417316278902

LL[0] исходного изображения [[2.27373675e-13]]

LL[0] восстановленного изображения 0.999999999996

Максимум исходного изображения 99.99846213

Максимум восстановленного изображения 1285.02351409

Минимум исходного изображения -99.99846213

Минимум восстановленного изображения -1285.01570159

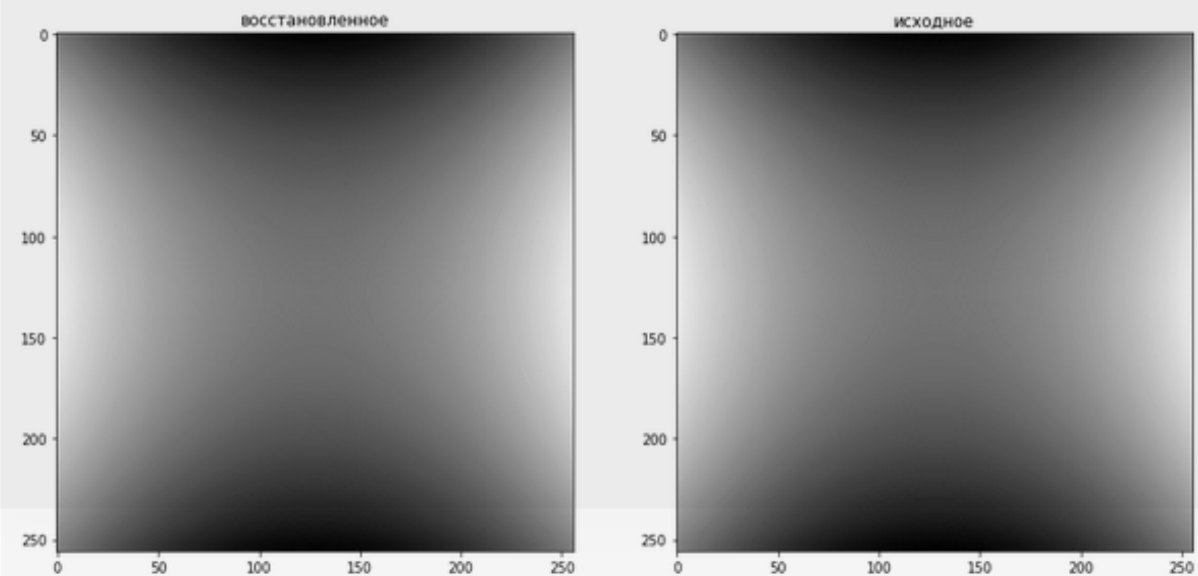


Рис. 5: $x^2 - y^2$

```
res8 = view.show_all(lambda x,y:3*(x**2 + y**2)*np.sqrt(x**2 + y**2) - 2*np.sqrt(x**2 + y**2),
                    lambda x,y:(9*x**3 + 6*x*y**2 + 3*x*y**2 - 2*x)/np.sqrt(x**2 + y**2),
                    lambda x,y:(9*y**3 + 6*y*x**2 + 3*x**2*y - 2*y)/np.sqrt(x**2 + y**2),
                    -1,1,-1,1,8,10)
```

MSE = 0.560497872524
M = 8
Погрешность X_H= 0.0151732120712
Погрешность Y_H= 0.0151732120712
Погрешность X_F= 0.0151701136686
Погрешность Y_F= 0.0151701136686
LL[0] исходного изображения [[94.03594812]]
LL[0] восстановленного изображения 10.0
Максимум исходного изображения 5.65685424949
Максимум восстановленного изображения 685.79238287
Минимум исходного изображения -0.628539361055
Минимум восстановленного изображения -126.948564829

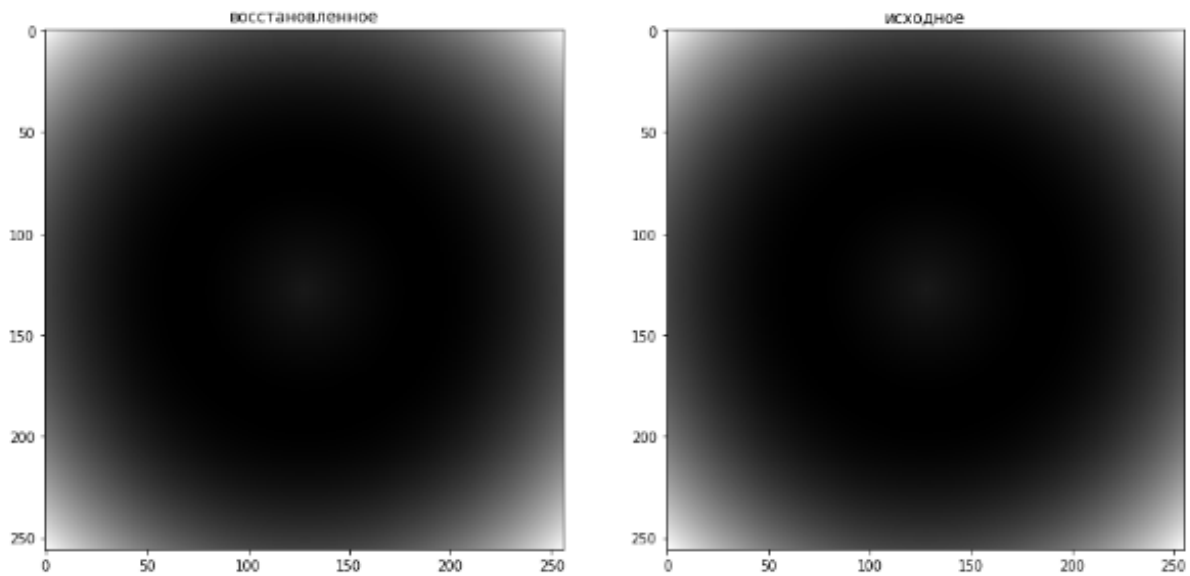


Рис. 6: Полином $R_3^1(x, y) = 3(x^2 + y^2)\sqrt{x^2 + y^2} - 2\sqrt{x^2 + y^2}$

Заключение

В ходе работы удалось реализовать метод и проверить его работоспособность. Однако, реализовать именно тот алгоритм, который был предложен в [1] и [2] не удалось. Был использован менее эффективный по производительности алгоритм на основе формул для прямого преобразования. Были написаны модули для работы и исследования метода, с обособленной логикой, что позволит упростить дальнейшую разработку. Удалось инкапсулировать неоднозначную работу со сверткой сигналов и z -преобразованиями, и избежать конфликтов с модулем `pywt`, что может быть в дальнейшем при тестировании. В результате проведения вычислительных экспериментов было выявлено, что метод работает устойчиво при восстановлении полиномов Цернике по их градиентам.

Из полученных программой результатов можно сделать вывод, что точность восстановления зависит от точности аппроксимации производной моделями Хаджина и Фрайда. Однако это требует дополнительных исследований.

Стоит отметить, что метод обладает ресурсом параллелизма.

Список литературы

- [1] IEEE Pan Agathoklis Senior Member IEEE Peter J. Hampton, Student Member and Colin Bradley. A new wave-front reconstruction method for adaptive optics systems using wavelets. *IEEE JOURNAL OF SELECTED TOPICS IN SIGNAL PROCESSING*, 2(5):781–792, 10 2008.
- [2] Panajotis Agathoklis Ioana S. Sevcenco, Peter J. Hampton. A wavelet based method for image reconstruction from gradient data with applications. *Springer Science+Business Media New York*, pages 717–737, 9 2013.
- [3] D. T. Gavel L. A. Poyneer and J. M. Brase. Fast wavefront reconstruction in large adaptive optics systems with the fourier transform. *J. Opt. Soc. Amer. A*, 2002.